

論文・報告

長径間吊橋の立体有限変位解析に関する研究

Study on Three-Dimensional Finite Displacement Analysis of Long-Span Suspension Bridge

斎藤道生*
Michio SAITO山野長弘**
Nagahiro YAMANO千原申三**
Shinso CHIHARA前田研一***
Ken-ich MAEDA内海靖****
Yasushi UCHIUMI勝俣盛*****
Mori KATSUMATA

The three-dimensional finite displacement analysis program which can cope with the long span suspension bridges of Akashi Strait Bridge class with the truss model faithful to the actual bridges was developed originally. This analysis program can practice with a personal computer or an EWS, and the finite displacement analysis is applied to an arbitrary erection system as well as a complete system. Moreover, the determination of the initial form of main cables and other members is carried out analytically, and as for that of main towers, the geometrical nonlinearity is taken in consideration, therefore, by analyzing the whole structure assembling total members, the design conditions peculiar to suspension bridges can be satisfied perfectly. Further, by using the coordinate transformation taking finite rotation into account and the nonlinear stiffness matrix with high accuracy, the stable solution can be obtained for this analysis.

Keywords : three-dimensional finite displacement analysis, long span suspension bridge, finite rotation

1. まえがき

吊橋の起源は非常に古く、その原型となるものは、有史以前の頃から架けられていたといわれているが、吊橋の構造特性を反映し、理論的な設計計算が行われるようになったのは19世紀後半になってからであった。解析法としては当初、弾性理論が用いられていたが、次の段階として、撓度理論が出現し、吊橋は長大化の一途をたどることになった。以後、現代に至るまで撓度理論は、理論の改良や解析法の研究ともあいまって多くの吊橋の設計計算に適用してきた。しかしながら、本州四国連絡橋以後、その架橋の歴史とともに長大吊橋の設計計算に適用される解析法も大きく変遷することとなった¹⁾。

平面解析についていと、その計画段階までは、やはり撓度理論が主流であったが、因島大橋(中央径間長770m, 1983年完成)、大鳴門橋(同876m, 1985年完成)の実施設計の頃から、梁モデルを対象としたマトリックス法による線形化有限変位解析法が主流を占めるようになり、南備讃瀬戸大橋(同1100m, 1988年完成)等の設計時では、トラスモデルを対象とした非線形有限変位解析法へと吊橋の設計計算に適用される解析法も変わってきた。

これらの平面解析法の変遷は、撓度理論では種々の解

析上の仮定のために、実際の吊橋を忠実にモデル化できないことや、工事規模の大きさから、より厳密な解析法を適用して、より経済的な断面構成とすることによって工費のかなりの低減が期待されたことが、大きな要因であった。

ところが、立体解析については、平面解析とは比較にならない大容量の演算となることなどから、急激な解析法の変遷はみられず、補剛トラスを等価な梁に置換した魚骨モデルを対象に、NASTRANなどの大型汎用プログラムを用いて、線形化有限変位解析法を適用したものが一般的であった。明石海峡大橋の施工計画が具体化した以後に、立体魚骨モデルによる有限変位解析結果が報告され始めたが、この場合もMSC/NASTRANやCOSMOSなどの汎用非線形構造解析プログラムを適用したものであった。

汎用プログラムの最大の長所は、入力仕様に従えば大規模な非線形構造解析がほぼ確実に実行できることであり、膨大な量の入出力データの処理問題も適当な前後処理プログラムを開発することによって解決でき、開発リスクなしに最小限の開発コストで設計計算への適用が可能となるということであるが、その反面、適用の範囲を外れた場合の対処法には大きな制約と限界を伴うという避けられない問題がある。

*川田テクノシステム㈱大阪支社営業課課長 **川田テクノシステム㈱開発部開発一課 ***前・川田工業㈱技術本部中央研究室室長
****川田工業㈱技術本部技術部長大橋課 *****川田工業㈱技術本部中央研究室

実際の吊橋の設計計算では、しばしばこのような問題が生じる。例えば、特殊な剛性や適合条件を有する部材をモデル化して解析するような場合など、汎用プログラムに新たな理論式を組み込むことは一般の使用者には困難であり、さらに、架設ステップを順に追った解体計算を連続的に実行する場合なども、同様である。

したがって、今後、設計計算における立体解析への有限変位解析法の適用の可能性をより確実にするためには、使用者が独自に開発し、その解析対象や解析目的の変化に応じて改良できる解析プログラムの存在が必要不可欠であるといえる。また、最近のコンピュータ技術の進歩は目覚ましいものがあり、数万自由度に及ぶ大容量の演算処理がパソコンやワークステーションでも可能になってきており、長大吊橋の設計計算における立体解析に対して有限変位解析法を適用する環境も、かなり整ってきたといえる。

そこで、著者らは、明石海峡大橋級の長径間吊橋の立体ト拉斯モデルの有限変位解析をパソコン、あるいは、ワークステーションで実行できる解析プログラムを独自に開発した²⁾。本解析プログラムには、立体解析特有の主塔の形状決定計算法や、有限回転を考慮した解式^{3),4)}をより一般的な形で誘導し直したものなどが組み込まれており、吊橋特有の設計条件を完全に満足し、かつ、安定な収束性を有する解析計算の実行が可能である。

本論文では、まず、第2章で有限回転と座標変換について述べ、次に、第3章でエネルギー原理に基づいたマトリックス法の一般的な有限変位理論の定式化を示すとともに、これを骨組部材に適用する場合の計算式を示す。第4章は、解析プログラムに関する内容であり、最初に立体解析特有の主塔の初期形状決定計算法について主に述べた後、本解析プログラムの特徴を説明する。最後に、第5章には、明石海峡大橋の計画段階での諸元を参考としたモデルを対象として、これに本プログラムを適用した解析結果を示している。

2. 有限回転と座標変換

マトリックス法では、構造系全体に共通な全体座標系と個々の要素において定義される局所座標系が用いられる。構造系全体の解析では、節点における変位の適合条件式と力の釣合条件式を用いるが、この2つの条件式は、これらの座標系間の座標変換という形で表される。このうち、全体座標系は空間に固定された座標系であるが、局所座標系は有限変位解析においては要素の平衡状態に従って移動する。したがって、解が厳密解に収束するためには要素境界上の変位と要素内部の変位が変形後の座標系で正確に表される必要がある。

本章では、立体解析時の有限回転を考慮した回転行列

と座標変換行列を示すとともに、不連続部材や剛部材をモデル化する場合に有効な手法である従属節点に関する非線形解析のための厳密な計算式を示す。

(1) 有限回転と回転行列^{3),4)}

立体有限変位解析において変位成分は並進変位と回転に分けることができる。このとき、前者は通常のベクトルとして変位成分の合成ができるが、後者については回転成分の合成の順番を変えると結果は異なる。そこで、有限な回転を正確に取り扱うために、回転行列を用いる。

節点の回転を求めるために、節点に固定されて節点とともに回転する右手直交座標系を考える。この座標系の回転前の基底ベクトルを e_1, e_2, e_3 とし、回転後のそれらを e_1^*, e_2^*, e_3^* とすれば、これらの間には回転行列 R を用いて次の関係式が成り立つ。

$$e_1^* = Re_1, \quad e_2^* = Re_2, \quad e_3^* = Re_3 \quad \dots \dots \dots \quad (1)$$

ここに、

$$R = \begin{pmatrix} r_{11} & r_{12} & r_{13} \\ r_{21} & r_{22} & r_{23} \\ r_{31} & r_{32} & r_{33} \end{pmatrix} \quad \dots \dots \dots \quad (2)$$

R の第一列目の要素 r_{i1} ($i = 1, 2, 3$) は直交座標系 (e_1, e_2, e_3) に対する e_1^* の方向余弦を表す。同様に、第 2, 3 列目の要素はそれぞれ e_2^*, e_3^* の方向余弦を表す。したがって、 r_0 なる位置ベクトルが、 n 回の回転 R_i, \dots, R_n を行った後のベクトル r_n は

$$r_n = R_n r_{n-1} = \{R_n R_{n-1} \cdots R_2 R_1\} \quad r_0 \quad \dots \dots \quad (3.a)$$

$$\equiv Rr_0 \dots \dots \dots \quad (3.b)$$

この R が有限回転を合成した結果であり、1つの回転を表している。次に、この行列と節点回転角の3成分 θ_i ($i = X, Y, Z$) との厳密な関係式を求める。ある空間ベクトル ϕ まわりの回転角を α とすると、剛体の回転に関するオイラーの定理から、節点は ϕ を回転中心軸として有限な角 α だけ回転する。ここで、空間固定座標系 (X, Y, Z) に対する ϕ の方向余弦を (ϕ_X, ϕ_Y, ϕ_Z) とし、 α の符号は右ねじの法則に従うものとする。

図-1に示すように、右手直交単位系 (e_1, e_2, e_3) を

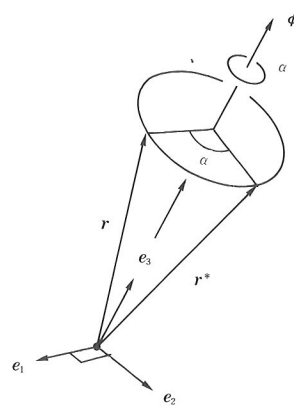


図-1 ベクトルの回転

$$\begin{aligned}
& + G/2 \int [[\mathbf{b}_2 \mathbf{d}^T] \mathbf{C}_2 + \mathbf{C}_2 [\mathbf{d} \mathbf{b}_2^T] + (\mathbf{b}_2^T \mathbf{d}) \mathbf{C}_2] dV \\
\mathbf{k}_2 = & E/3 \int [\mathbf{C}_1 [\mathbf{d} \mathbf{d}^T] \mathbf{C}_1 + 1/2 (\mathbf{d}^T \mathbf{C}_1 \mathbf{d}) \mathbf{C}_1] dV \\
& + G/3 \int [\mathbf{C}_2 \times [\mathbf{d} \mathbf{d}^T] \mathbf{C}_2 + 1/2 (\mathbf{d}^T \mathbf{C}_2 \mathbf{d}) \mathbf{C}_2] dV
\end{aligned} \quad \dots \dots \dots \quad (65. \text{ a} \sim \text{c})$$

上式に式(60), (61)を代入すれば、

$$\begin{aligned}
\mathbf{k}_0 = & El \int [A \mathbf{F}_{11} - G_y \mathbf{F}_{15} - G_z \mathbf{F}_{16} + I_{yy} \mathbf{F}_{55} + \\
& I_{zz} \mathbf{F}_{66} + I_{yz} \mathbf{F}_{56}] d\xi + G J_s l \int [\mathbf{F}_{44}] d\xi \\
\mathbf{k}_1 = & El/2 \int [A \mathbf{G}_1 - G_y \mathbf{G}_2 - G_z \mathbf{G}_3 + I_{yy} \mathbf{G}_4 + \\
& I_{zz} \mathbf{G}_5 + I_{yz} \mathbf{G}_6 + I_p \mathbf{G}_7 - I_{yyy} \mathbf{G}_8 - I_{yyz} \mathbf{G}_9 - \\
& I_{yzz} \mathbf{G}_{10} - I_{zzz} \mathbf{G}_{11}] d\xi + G J_s l/4 \int [\mathbf{G}_{12}] d\xi \\
\mathbf{k}_2 = & El/6 \int [A \mathbf{H}_1 - G_y \mathbf{H}_2 + G_z \mathbf{H}_3 + I_{yy} \mathbf{H}_4 + \\
& + I_{zz} \mathbf{H}_5 + I_{yz} \mathbf{H}_6 + I_p \mathbf{H}_7] d\xi \\
& + G J_s l/12 \int [\mathbf{H}_8] d\xi
\end{aligned} \quad \dots \dots \dots \quad (66. \text{ a} \sim \text{c})$$

なお、上式で用いた \mathbf{G}_i ($i=1, \dots, 12$), \mathbf{H}_i ($i=1, \dots, 8$)、および、 A , I , G , J の各記号については、省略する。

4. 解析プログラム

(1) 初期形状決定

吊橋の解析では、死荷重時における特有の設計条件を満足させるための初期形状が事前に決定されなければならない。主ケーブル等については、平面解析の場合と同様に解析的に計算される。しかしながら、主塔については塔面内の部材構成や塔柱の傾斜などを忠実にモデル化する場合、反復計算による必要がある。

本解析プログラムには、主ケーブルなどの通常の初期形状決定計算法の他に、立体解析時特有の主塔の初期形状決定のための反復計算法を組み込んでおり、ここでは、特に主塔の初期形状決定について説明する（他の部材の初期形状決定法については、文献5）を参照されたい）。

主塔の初期形状決定は、図-4に示すように中央、側径間側の主ケーブル張力の鉛直成分 V_c , V_s 、および、タワーリングの軸力 $N_{L,C}$, $N_{L,S}$ が作用した状態で設計時に定められた所定の完成形状となるような無応力形状を算定することであり、この無応力形状は、製作形状（キャンバー）に対応するものである。

例えば、図-4に示した例では、一基の主塔はプレース

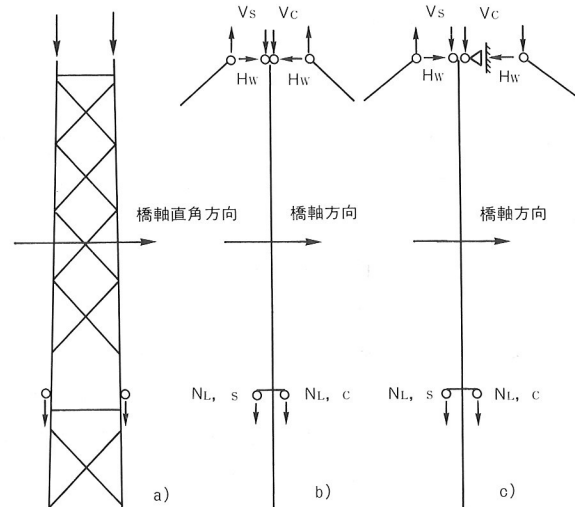


図-4 主塔の初期形状決定

材のある固定門型ラーメンとなるために、各荷重成分によって、固定端反力と各部材の断面力に橋軸直角方向（塔面内）のせん断力と橋軸回りの曲げモーメントが生じる。これにより、各部材は伸縮と曲げ変形を受けることから、次のような反復計算によって無応力形状に対する各節点の座標値を求めなければならない。

すなわち、まず、橋軸直角方向の鉛直面内に所定の完成形状で位置する主塔のみのモデルに対し、図-4, a) に示したように各部材の死荷重に加えて主ケーブル張力の鉛直成分やタワーリングの軸力を荷重として作用させ、有限変位解析を行う。計算された各節点の変位を用いて座標値を修正し、無応力形状の座標値を仮定する。この仮定値を用いて再び有限変位解析を行い、変形後の各節点の座標値と完成形状のそれとの差異が許容値内に収まるまで、同様の計算を反復する。

以上の計算は、主ケーブルを取り去った状態で解析するわけであるが、塔頂に作用する主ケーブル張力の鉛直成分が完成時では数万トンにも及ぶことから、塔頂を自由端にした図-4, b) のような片持ち梁の状態にある主塔に対しては、座屈荷重を超えるため不安定領域での有限変位解析を行うことになる。したがって実際の初期形状決定計算では、図-4, c) に示したように、塔頂で橋軸方向の変位を仮に拘束したモデルを対象として同様の反復計算を適用するのが実用的である。

(2) プログラムの特色

データの入力方法については、数千に及ぶ節点と部材に関するデータの入力作業の省力化のため、種々の自動生成機能を設けた。また、入力データをチェックするルーチンや、図化機能を応用して、入力ミスによる誤計算を可能な限り排除できるようにした。

主ケーブル等の初期形状決定計算は解析的であるのでプログラムを分離することもできるが、入力作業などの

数値計算全体の効率性から、主塔の初期形状決定のための反復計算法とともにマトリックス法のプログラム³⁾に組み込んだ。なお、計算式は、非対称吊橋にも適用できる一般的な手法である。

また、任意の架設形に対処するために、完成系より除去する部材、および節点を、それぞれダミー部材、およびダミー節点とすることによって処理し、解体計算により完成系からフリーケーブル状態までの各架設ステップを順に追った解析計算を連続的に実行できるようにした。

全体構造の有限変位解析では、吊橋を計算するための特別な式は用いていないが、異なる節点自由度（トラス部材やケーブル部材のみが結合する3自由度節点と、梁部材が結合する6自由度節点）を持つ骨組構造の計算では、必要な自由度のみを用いて計算するアルゴリズムを使用している。この手法により、吊橋の計算では、バンド幅も狭くなるので、メモリの節約と、特に計算時間の短縮に著しい効果がある。

さらに、通常の橋梁構造物では計算値に有限回転による影響が現れるほどの変形は起きないが、回転行列を用いる解法は非線形計算の安定性に優れており、解の収束性が良くなる長所がある。したがって、多くの部材、節点を一度に除去する架設計算の場合のような不安定な状態での非線形計算の収束性を確保するのには有効である。

5. 数値計算例

本解析プログラムを、明石海峡大橋の計画段階での諸元⁶⁾を参考とした立体トラスモデル、立体魚骨モデルを対象に適用した場合の数値計算結果の一部を示す。

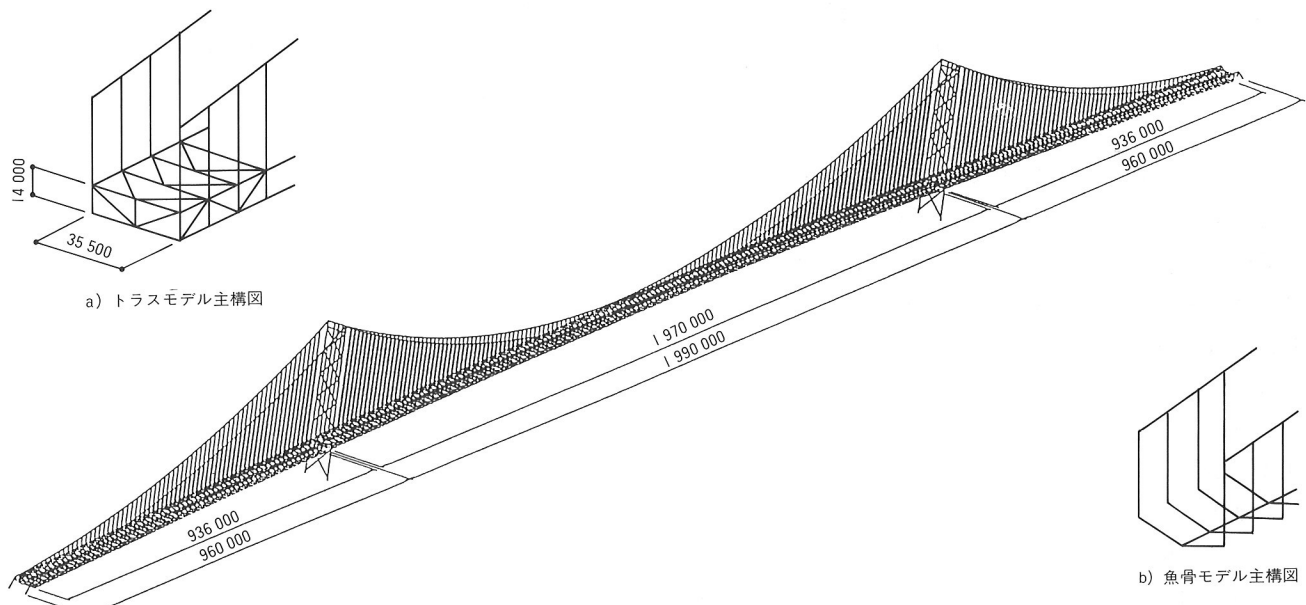


図-5 ト拉斯モデル全体図

図-5は立体トラスモデルの全体図を示したもので、図-5, a)にトラス主構、同じくb)に魚骨主構を示している。

解析ケースとしては、両者のモデルの完成系、架設系（補剛トラスが約1/2架設終了した段階）について、ウィンドシュー位置を支点とするモデル(T-A, F-A), ウィンドシューを部材で表しその境界条件を部材端力の解放で与えたモデル(T-C, F-C)について、線形化有限変位解析、有限変位解析を適用した。ここに、モデルの表示で“T-”はトラスモデル，“F-”は魚骨モデルを表す。また、トラスモデルと魚骨モデルの剛度、および断面力の整合性は、文献7), 8)に従った。以上の解析ケースについて、橋軸直角方向の風荷重による変位、断面力、および反力の死荷重状態からの変化量を表-1に示した。

計算結果から、変位についてみると、塔頂で線形化解析と非線形解析による差異が認められるが、他では小さい。また、断面力では、ウィンドシュー近傍の上、下横構の軸力に10%以上の差を生じている。解析モデルによる差は、中央径間中央部上弦材軸力で13%あるが、その他の計算値は、架設系も含めて数%程度である。

なお、各解析ケースに要した時間はEWSで約10分、解の収束に要した反復回数は6回程度であった。

6. あとがき

開発された解析プログラムは、補剛トラスを忠実に立体トラスモデルに置き換えた全橋モデルを対象とする場合にも、明石海峡大橋級の長径間吊橋の完成系、および任意の架設系における有限変位解析を、パソコンあるいはEWSで実行できる。また、主ケーブルなどの初期形状決定は解析的に行われ、主塔のそれについても幾何学的

表-1 風荷重による変位、反力、断面力

		橋軸直角方向変位 (mm)				塔基部反力 (t)			ウインド荷重 (t)	
		側径間L/2	中央L/4	中央L/4	塔頂	橋直	鉛直	橋軸回	側径間	中央径間
完成系	T-A 線形化	8 477	23 011	27 662	1 180	47 320	5 234	-39515	-	-
	T-A 非線形	8 457	22 924	27 529	1 222	48 467	5 304	-39680	-	-
	T-C 非線形	8 428	23 011	27 622	1 272	52 695	6 935	-54843	-1619	-1595
	F-A 線形化	8 413	22 751	27 646	1 174	47 181	5 156	-38925	-	-
	F-A 非線形	8 429	22 796	27 613	1 223	48 839	5 292	-39831	-	-
	F-C 非線形	8 483	22 880	27 674	1 271	52 644	6 935	-54842	-1619	-1609
架設系	T-A 非線形	9 961	7 798	14 338	491	19 821	2 302	-17227	-489	-506
	F-A 非線形	9 944	7 716	14 307	491	19 909	2 294	-17232	-496	-515

(t/m)

		上弦材断面力			下弦材断面力			横構断面力	
		橋直	鉛直	橋軸回	橋直	鉛直	橋軸回	中央桁端	中央桁中央
完成形	T-A 線形化	-4 029	-3 919	-954	-4 043	-3 927	-893	-	-
	T-A 非線形	-3 940	-3 832	-950	-4 118	-3 985	-842	-	-
	T-C 非線形	-3 953	-3 817	-924	-4 128	-3 904	-823	-604	32
	F-A 線形化	-4 060	-3 901	-852	-4 011	-4 017	-848	-	-
	F-A 非線形	-4 064	-3 966	-829	-4 062	-3 915	-823	-	-
	F-C 非線形	-4 051	-3 953	-821	-4 049	-3 902	-817	-577	16
架設系	T-A 非線形	-775	-818	-53	-629	-691	-3	-	-
	F-A 非線形	-693	-761	-42	-649	-744	-42	-	-

非線形性を考慮していることから、全部材を組合せて全体構造を解析することにより、吊橋特有の設計条件を完全に満足することができる。さらに、これらの解析では有限回転を考慮した座標変換と精度の高い非線形剛性行列を使用しているため、安定した解を得ることができる。

今後は、本解析プログラムと図化処理等の前後処理プログラムとを連動させて、設計支援システムとしての処理機能を充実させていき、吊橋の設計計算に立体有限変位解析法を適用する場合でも対応できるようにしていく予定である⁹⁾。

なお末筆ながら、本研究の実施にあたり、長岡技術科学大学・林 正教授には、多大なご指導と貴重なご助言を頂いたことをここに記し、感謝の意を表します。

参考文献

- 1) 前田研一・西土隆幸・内海 靖・斎藤道生：吊橋の設計支援システムと施工管理システム、土木学会第11回電算機利用に関するシンポジウム講演集、1986.
- 2) 林 正・前田研一・増井由春・内海 靖・山野長弘：長径間吊橋の立体有限変位解析、構造工学論文集、Vol.37A, 1991.
- 3) 前田幸雄・林 正：立体骨組構造の有限変位解析、土木学会論文報告集、No.253, 1976.
- 4) 前田幸雄・林 正：充実曲線材の有限変位理論、構造工学論文集、Vol.32A, 1986.
- 5) 野村国勝・中崎俊三・内海 靖・前田研一・斎藤道生：吊橋・斜張橋の設計架設計算プログラムシステム、

橋梁、Vol.21, No.5~9・11・12, 1985, Vol.22, No.2・3, 1986.

6) 保田雅彦・平原伸幸：明石海峡大橋補剛桁の耐風性(中間報告), 本四技報, Vol.13, No.52, 1989.

7) 本州四国連絡橋公団：昭和48年度本州四国連絡橋鋼上部構造に関する調査報告書(別冊6・吊橋のねじり解析), 土木学会, 1973.

8) 本州四国連絡橋公団：昭和51年度本州四国連絡橋鋼上部構造に関する調査報告書(別冊2・トラス橋の解析), 土木学会, 1976.

9) 前田研一・斎藤道生・山野長弘・千原申三・林 正：吊橋の設計支援システムにおける立体有限変位解析プログラム、土木学会第16回土木情報システムシンポジウム講演集, 1991.